УДК: 537.323+666.654

Р.С. Латыпов, магистрант; Л.В. Болотько, студ. (БГТУ, г. Минск)

## КОМПОЗИЦИОННАЯ КЕРАМИКА НА ОСНОВЕ СЛОИСТОГО КОБАЛЬТИТА КАЛЬЦИЯ, МОДИФИЦИРОВАННОГО ВИСМУТОМ

Слоистый кобальтит кальция $Ca_3Co_4O_{9+\delta}$  является перспективным термоэлектрическим материалом,однако свойства керамических материалов на основе слоистого кобальтита кальция уступают таковым для монокристаллов.Ввиду этогоприменяются различные подходы по улучшению этих свойств, а именно:

- а) частичное замещение Са и/или Сов структуре;
- б) применение «мягких» методов синтеза;
- в) применение специальных методик спекания;
- г) создание в керамике фазовой неоднородности.

В данной работе исследуется возможность улучшения свойств керамических материалов на основе слоистого кобальтита кальция с помощью применения «мягкого» метода синтеза, создание фазовой неоднородности путем модификации частицами Ві, а также применения методики двухстадийного спекания.

В качестве «мягкого» метода синтеза выступал полимерный метод, описанный в работе [1], с помощью которого получали порошок слоистого кобальтита кальция. К полученному порошку добавляли частицы Вів количестве 3 мас. %, после чего спекали при помощи двухстадийной методики в 3-х режимах, с температурами первой стадии 1273, 1373 и 1473 К, а температура второй стадии во всех режимах составила 1173 К. Идентификацию образцов проводили при помощи рентгенофазового анализа (рентгеновский дифрактометрВгикег D8 XRD Advance, СиК $\alpha$ —излучение). Значения кажущейся плотности  $\rho_{\kappa}$ , пористости  $\Pi$ , удельной электропроводности  $\sigma$ , коэффициента термо-ЭДС S и фактора мощности P спеченной керамики определяли по методикам, описанным в работе [2], а взвешенную подвижность  $\mu$  и концентрацию носителей заряда P рассчитывали по формулам, описанным в работе [3].

Рентгенофазовый анализ образцов показал наличие основной фазы слоистого кобальтита кальция во всех образцах, пики которой обозначены на рис. 1 индексами Миллера. Также были установлено присутствие в образцах примесных фаз, а именно $Ca_3Co_2O_6$ ,  $Co_3O_4$ ,  $Bi_2O_3$ . Присутствие в образцах фаз  $Ca_3Co_2O_6$  и $Co_3O_4$ объясняется их образованием при перитектоидном распаде фазы  $Ca_3Co_4O_{9+\delta}$  при темпе-

ратуре 1173 К. Значения кажущейся плотности изменялись в интервале  $3.03-3.65 \, \mathrm{г/cm^3}$ , а значения пористости — в интервале 24–31 %. Максимальное значение плотности и минимальное пористости отвечали образцу, спеченному при 1273 К.

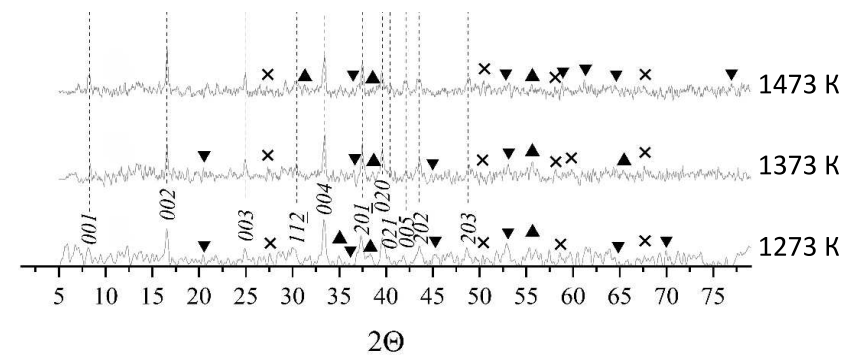


Рисунок 1 — Рентгенограммы образцов композиционной керамики  $\nabla - Ca_3Co_2O_6$ ,  $\triangle - Co_3O_4$ ,  $\square - Bi_2O_3$ 

Температурные зависимости образцов, спеченных при 1373 и 1473 К носили полупроводниковый характер, а для образца, спеченного при 1273 К, вблизи комнатной температуры наблюдался металлический характер проводимости, который вблизи 500 К изменялся на полупроводниковый (рис. 2a). Максимальное значение удельной электропроводности отвечало образцу, спеченному при 1273 К, и было в  $\sim$ 3,6 раза выше, чем для базового слоистого кобальтита кальция.

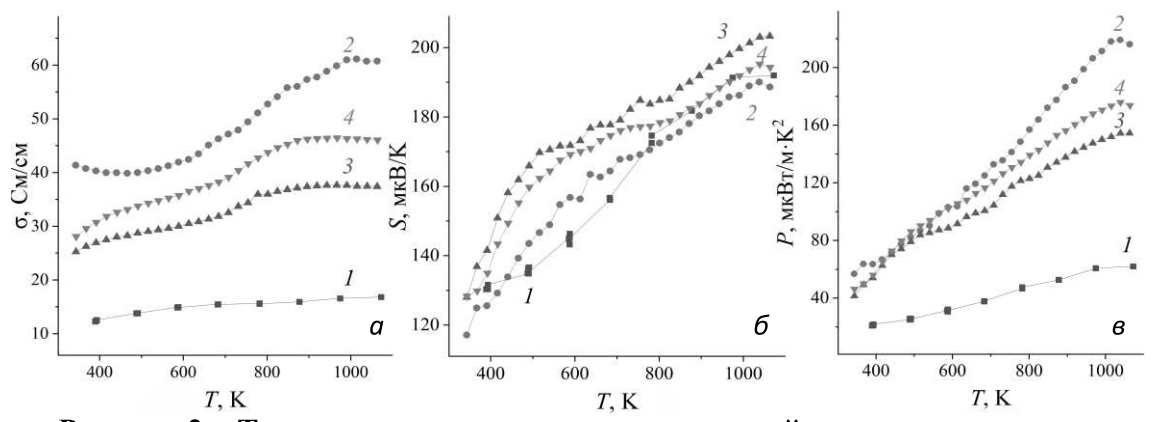


Рисунок 2 — Температурные зависимости удельной электропроводности (а), коэффициента термо-ЭДС (б) и фактора мощности (в) базового  $Ca_3Co_4O_{9+\delta}$  (1) и образцов композиционной керамики  $Ca_3Co_4O_{9+\delta}/3$  мас. % Ві, спеченных при 1273 (2), 1373 (3) и 1473 (4) К

Значения коэффициента термо-ЭДС всех образцов были положительными, что свидетельствует о «дырках» как основных носителях заряда (рис.  $2\delta$ ). Сами значения росли при увеличении температуры и были близки к таковым для базового слоистого кобальтита кальция. Значения фактора мощности для всех образцов композиционной

керамики были выше, чем для базового слоистого кобальтита кальция, а максимальное значение было в  $\sim$ 3,5 раза выше, чем для базовой фазы (рис. 2 $\theta$ ).

Согласно рассчетамконцентрация носителей заряда в образцах композиционной керамики после модификации Ві практически не изменялась, а взвешенная подвижность возрастала, что и обусловило повышение термоэлектрических характеристик (рис. 3).

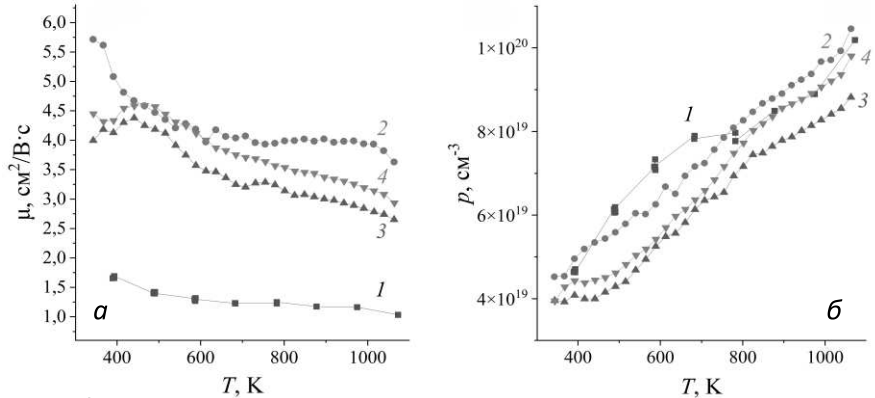


Рисунок 3 — Температурные зависимости взвешенной подвижности (а) и концентрации носителей заряда (б) базового  $Ca_3Co_4O_{9+\delta}$  (I) и образцов композиционной керамики $Ca_3Co_4O_{9+\delta}/3$  мас. % Ві, спеченных при 1000 (2), 1100 (3) и 1200 (4) °C

В результате выполнения работы с применением полимерного метода синтеза и двухстадийной методики спекания были получены керамические композиционные термоэлектрические материалы на основе слоистого кобальтита кальция, модифицированного частицами Ві, с улучшенными характеристиками, которые является перспективными для применения в составе эффективных термоэлектрических преобразователей высокопотенциального тепла в электроэнергию.

## ЛИТЕРАТУРА

- 1. Мацукевич И.В., Клындюк А.И. Получение слоистого кобальтита кальция  $Ca_3Co_4O_{9+\delta}$  растворными методами и его свойства / И.В. Мацукевич, А.И. Клындюк // Украинский химический журнал. 2013. T. 79, № 12. C. 104-110.
- 2. Влияние добавки частиц меди на термоэлектрические свойства керамики  $Ca_3Co_4O_{9+\delta}$ , полученной методом двухстадийного спекания / А.И. Клындюк [и др.] // Журнал неорганической химии. 2022. T. 67, № 2. C. 248–256.
- 3. Латыпов Р.С., Тарайковский М.А. Термоэлектрическая керамика на базе слоистого кобальтита кальция, модифицированного марганцем // Инновационные материалы и технологии 2024: мат. докл. межд. науч.-техн. конф. молодых ученых, Минск, 31 марта 04 апреля 2024 г. / БГТУ. Минск, БГТУ, 2024. С. 61—64.